

## مقاله علمی-پژوهشی

# ارزیابی مدل هیبریدی ANN-PSO و روش‌های مختلف داده‌کاوی در برآورد تبخیر و تعرق ماهانه در دو اقلیم مختلف

سید محمد رضا حسینی وردنجانی<sup>۱</sup>، مجتبی خوش‌روش<sup>۲\*</sup>، سید ابراهیم حسینی کاکلکی<sup>۳</sup>، مسعود پور‌غلام آمیجی<sup>۴</sup>

تاریخ دریافت: ۱۴۰۱/۰۴/۱۴ تاریخ پذیرش: ۱۴۰۱/۰۵/۰۴

## چکیده

تبخیر و تعرق یکی از مؤلفه‌های اصلی بیلان آب هر منطقه و برآورد دقیق آن در مطالعات هیدرولوژیکی، طراحی سامانه‌های آبیاری و زهکشی و برنامه‌ریزی سامانه‌های آبیاری بسیار ضروری است. در این تحقیق به ارزیابی مدل درختی Rep Tree، K Star، M5 Rules، M5 و ANN-PSO مدل شبکه عصبی مصنوعی و مدل هیبرید شبکه عصبی در تخمین تبخیر و تعرق مرجع در دو نقطه اقلیمی مختلف در استان مرکزی بر مبنای مدل پنمن مونتیث فانو پرداخته شد. داده‌های مورد استفاده شامل دمای حداکثر و حداکثر، رطوبت نسبی میانگین، سرعت باد در ارتفاع دو متری و ساعت‌آفتابی به عنوان ورودی مدل از ایستگاه سینوپتیک دلیجان و تفرش بین سال‌های ۲۰۰۴-۲۰۲۱ بودند و تبخیر و تعرق محاسبه شده از روش پنمن مونتیث فانو به عنوان خروجی مدل‌ها استفاده شد. برای ارزیابی مدل‌ها از شاخص‌های جذر میانگین مربعات خطأ (RMSE)، میانگین انحراف مطلق (MAE) و ضربی همبستگی (R) استفاده شد. تجزیه و تحلیل نتایج نشان داد که برای هر دو ایستگاه، مدل هیبرید شبکه عصبی ANN-PSO با  $R=0.9989$  و  $MAE=0.2441$  برای ایستگاه دلیجان و  $R=0.9989$  و  $MAE=0.2355$  برای ایستگاه تفرش و مدل درختی M5 با  $R=0.9967$  و  $MAE=0.2398$  برای ایستگاه دلیجان و  $R=0.9969$  و  $MAE=0.2793$  برای ایستگاه تفرش بهترین عملکرد را داشتند. همچنین مدل Rep Tree ضعیفترین عملکرد را در بین مدل‌های مورد بررسی در این پژوهش داشت. با توجه به اینکه مدل درختی علاوه بر دقت مطلوب، روابط ساده، خطی و قابل فهم‌تری را برای برآورد تبخیر و تعرق مرجع ارائه می‌نماید، این مدل برای برآورد تبخیر و تعرق در این منطقه قابل توصیه است.

واژه‌های کلیدی: مناطق خشک، تبخیر و تعرق، یادگیری ماشین، محاسبات نرم

چون تفکیک آن‌ها از یکدیگر امکان‌پذیر نیست، مجموعاً به نام تبخیر و تعرق ( $ET^*$ ) در نظر گرفته می‌شود (Allen et al., 1998; Eichelmann et al., 2022). پیچیدگی سیستم‌های هیدرولوژیکی از نظر تعیین تمامی پارامترهای دخیل و نقص اطلاعات آماری، امکان مدل‌سازی فیزیکی کامل سیستم‌های هیدرولوژیکی را غیرممکن می‌سازد. لذا در این شرایط مدل‌سازی سیستمی که بتواند مبتنی بر روابط ریاضی باشد، مورد توجه قرار می‌گیرد (Khoshravesh et al., 2016؛ نورانی و سیاح فرد، ۱۳۹۲). روش‌های داده محور با توجه به انعطاف‌پذیری بالا در مدل سازی شرایط مختلف یک پدیده توئنایی خوبی را دارا هستند (بختیاری و همکاران، ۱۳۹۴؛ پور‌غلام آمیجی و همکاران، ۱۴۰۱). در حال حاضر داده‌کاوی مهم‌ترین فناوری جهت بهره‌برداری از داده‌های حجمی است و اهمیت و کاربرد آن روبه فزونی

## مقدمه

تبخیر تعرق به انتقال همزمان تبخیر از سطح خاک و تعرق از سطح گیاه به اتمسفر در یک سیستم خاک - گیاه اطلاق می‌شود (Allen et al. 1998).

۱- دانشجویی دکتری گروه مهندسی آب، دانشکده مهندسی زراعی، دانشگاه علوم کشاورزی و منابع طبیعی ساری، ساری، ایران

۲- دانشیار گروه مهندسی آب، دانشکده مهندسی زراعی، دانشگاه علوم کشاورزی و منابع طبیعی ساری، ساری، ایران

۳- دانشجویی دکتری گروه مهندسی برق، دانشکده مهندسی، دانشگاه فردوسی مشهد، مشهد، ایران

۴- دانشجویی دکتری گروه مهندسی آبیاری و آبادانی، دانشکدان کشاورزی و منابع طبیعی، دانشگاه تهران، کرج، ایران

(Email: m.khoshravesh@sanru.ac.ir) - نویسنده مسئول:

DOR: 20.1001.1.20087942.1401.16.5.4.9

مدل پنمن مونتیث فاٹو ۵۶ مقایسه گردید. نتایج حاکی از برتری مدل درختی بود. در تحقیقی در کشور صربستان به تخمین تبخیر و تعرق به کمک شبکه‌های شعاعی با بهینه‌سازی ازدحام ذرات (PSO) و شبکه‌های شعاعی با الگوریتم پس انتشار خطأ پرداخته شد. برای ارزیابی مدل‌ها از مدل پنمن مونتیث فاٹو استفاده گردید. نتایج نشان داد هر دو مدل دقت قابل قبولی در تخمین تبخیر و تعرق مرجع دارند ولی بر طبق شاخص‌های آماری مدل شبکه‌های شعاعی با بهینه‌سازی ازدحام ذرات PSO دقیق‌تر است (Petković et al., 2016). قربانی و همکاران (۱۳۹۵) به ارزیابی عملکرد شبکه‌های عصبی در برآورد تبخیر و تعرق گیاه مرجع در ایستگاه سینوپتیک اهواز پرداختند. آن‌ها از شبکه‌های  $MNN^4$ ,  $MLP^4$  و  $FF^5$  برای تخمین تبخیر و تعرق گیاه مرجع استفاده نمودند. نتایج نشان داد که شبکه‌های  $MLP$  و  $FF$  عملکرد بهتری نسبت به  $MNN$  دارند. ستاری و اسماعیل زاده (۱۳۹۵) به ارزیابی مدل درختی  $M5$  و مدل برنامه‌ریزی ژنتیک (GP) در برآورد تبخیر تعرق ماهانه در منطقه تبریز آذربایجان آذربایجان شرقی پرداختند. برای ارزیابی مدل‌ها از روش پنمن مونتیث فاٹو استفاده گردید. نتایج نشان داد اگرچه مدل برنامه‌ریزی ژنتیک دقت بیشتری نسبت به مدل درختی دارد ولی مدل درختی روابط خطی ساده‌تری ارائه می‌کند. پناهی و همکاران (۱۳۹۵) به پیش‌بینی تبخیر و تعرق مرجع به کمک سه نوع شبکه عصبی پرسپترون، شعاعی و ماشین بردار پشتیبان در ایستگاه همدیدی تبریز پرداختند. نتایج نشان داد که شبکه عصبی پرسپترون با  $RMSE=3.88$  و  $R=0.95$  عملکرد بهتری نسبت به مدل‌های دیگر داشت. در تحقیقی در کشور یونان به تخمین تبخیر و تعرق مرجع روزانه به کمک مدل‌های مختلف شبکه عصبی مصنوعی و مدل‌های تجربی پرداخته شد. نتایج حاکی از دقت بالای مدل شبکه عصبی مصنوعی نسبت به Antonopoulos and Antonopoulos (2017). ذرتی پور و همکاران (۱۳۹۸) به محاسبه تبخیر و تعرق پتانسیل به کمک مدل شبکه عصبی مصنوعی، عصبی فازی و مدل درختی  $M5$  پرداختند. نتایج نشان داد هر سه مدل دقت قابل قبولی در محاسبه تبخیر و تعرق دارند. دقت مدل شبکه عصبی مصنوعی و عصبی فازی بیشتر است. حقیقتاً ذرتی پور و همکاران (۱۳۹۸) به مقایسه مدل هیبریدی ANFIS-PSO<sup>۷</sup> و مدل تجربی تورک در تخمین تبخیر و تعرق مرجع در پل دختر پرداختند. نتایج نشان داد که مدل هیبریدی ANFIS-PSO با سه پارامتر دمای میانگین، رطوبت و گرمای نهان تبخیر قادر به تخمین تبخیر و تعرق مرجع روزانه است.

Sattari et al., 2013; Rahimikhoob, 2014; Ansari et al., 2020 (Ghojghar et al., 2020). شبکه‌های عصبی به عنوان یکی از مؤلفه‌های اصلی هوش محااسباتی<sup>۱</sup> از خواص مهمی برخوردارند که آن‌ها را در علوم و مسائل فنی مهندسی حائز اهمیت می‌نماید. از جمله خواص مهم این شبکه‌ها تقریب زنی توابع، ساختار موازی، قدرت یادگیری و تعمیم و سرعت پردازش بالا است (منهاج، ۱۳۹۳). الگوریتم بهینه‌سازی ازدحام ذرات (PSO)، یک الگوریتم بهینه‌سازی (Kennedy Eberhart, 1995) تصادفی مبتنی بر حرکت ذرات است (and). این الگوریتم از روی رفتار اجتماعی دسته‌های پرندگان مدل شده است. روش‌های داده‌کاوی مجموعه داده‌های بزرگ با متغیرهای زیاد ساخته شده‌اند. بنابراین با روش‌های آماری قدیمی متفاوت هستند. مدل  $M5$  یک مدل درختی برای پیش‌بینی صفات عددی پیوسته است که در آن توابع رگرسیونی خطی در برگ‌های  $M5$  درخت ظاهر می‌شوند (Pal and Deswal, 2009). مدل درختی  $M5$  اولین بار توسط (Quinlan, 1992) معرفی شده است. از مزایای مدل درختی  $M5$  این است که قابل فهم‌تر بوده و روند آموزش به مدل بسیار ساده است و نیازی به آزمون و خطأ ندارد. همچنین در مواجهه با داده‌های گمشده بسیار قدرتمند و قوی عمل کرده، و بر روی داده‌ها و نمونه‌های بزرگ و دارای ابعاد زیاد نیز قابلیت عملکرد مناسبی دارد. از دیگر روش‌های داده‌کاوی می‌توان به روش‌های Rep Tree و star Rep Tree اشاره نمود.

در زمینه پیش‌بینی تبخیر و تعرق به کمک روش‌های داده‌محور، پژوهش‌های مختلفی در داخل و خارج کشور انجام شده است. در تحقیقی در کشور ترکیه با به کارگیری داده‌های هواشناسی دریاچه‌ی آگیردیر در ترکیه به مدل سازی تبخیر از تشت پرداختند و نشان دادند که پارامترهای دمای آب، تابش خورشیدی و رطوبت نسبی به عنوان مؤثرترین عوامل بر تبخیر از تشت می‌باشند. در این مطالعه از الگوریتم‌های داده‌کاوی  $M5$ ,  $M5Rules$ ,  $Kstar$  شبکه عصبی و روش‌های رگرسیونی استفاده شد. نتایج حاکی از دقت بالای مدل  $M5$  نسبت به سایر روش‌ها بود (Terzi, 2007). پناهی و همکاران (۱۳۹۴) به ارزیابی سه مدل از نرمافزار Weka شامل  $M5p$ , Rep Tree و  $K$  Star در برآورد تبخیر و تعرق پتانسیل و رطوبت نسبی ماه بعد در استان یزد پرداختند. نتایج نشان داد که  $M5p$  بهترین عملکرد و Rep Tree ضعیفترین عملکرد را در این منطقه داشتند. وروانی و همکاران (۱۳۹۲) به کمک مدل رگرسیون درختی نرمافزار Xlminer در چند ناحیه آب و هوایی مختلف در ایران به تخمین تبخیر و تعرق ماهانه پرداختند. داده‌های ورودی شامل میانگین ماهانه دمای حداقل و حداکثر، رطوبت نسبی تابش خورشیدی و سرعت باد بودند. نتایج با

3- Mobile Neural Network

4- Multi-Layer Perceptron

5- Fuzzy Forests

6- Genetic Programming

7- Adaptive Neuro Fuzzy Inference System

1- Computational Intelligence

2- Particle Swarm Optimization

شمالی می‌باشد. متوسط دمای سالانه ۱۶/۱ درجه سانتی‌گراد و گرم‌ترین و سردترین ماه‌های سال به ترتیب تیر و دی می‌باشند. متوسط سالانه بارندگی زراعی ۱۸۵/۲ میلی‌متر و متوسط رطوبت سالانه ۳۹ درصد می‌باشد. اقلیم این شهرستان به روش نمایه دومارتن خشک و به روش نمایه آمبرژه خشک و سرد است. همین طور تفرش یکی دیگر از شهرستان‌های استان مرکزی است که با طول جغرافیایی ۵۰ درجه ۰۰ دقیقه شرقی و عرض جغرافیایی ۳۴ درجه و ۴۱ دقیقه شمالی می‌باشد. متوسط دمای سالانه ۱۳/۳ درجه سانتی‌گراد و گرم‌ترین و سردترین ماه‌های سال به ترتیب مرداد و دی می‌باشند. متوسط سالانه بارندگی زراعی ۳۱۴/۴ میلی‌متر و متوسط رطوبت سالانه ۴۴ درصد می‌باشد. اقلیم این شهرستان به روش نمایه دومارتن نیمه‌خشک و به روش نمایه آمبرژه نیمه‌خشک و سرد است. در این تحقیق از میانگین ماهانه داده‌های هواشناسی ایستگاه سینوپتیک دلیجان و تقریش در بازه زمانی ۲۰۰۴ تا ۲۰۲۱ شامل دمای حداقال و حداکثر، رطوبت نسبی میانگین، سرعت باد در ارتفاع ۲ متری و ساعت‌آفتابی استفاده گردید. محدوده مطالعاتی در شکل (۱) نشان داده شده است.

### محاسبه تبخیر و تعرق مرجع

رابطه فائق پمن موتیث یکی از معتبرترین روش‌ها برای تخمین  $ET_0$  است که مورد استفاده متخصصان قرار می‌گیرد. در روش مذکور، گیاه مرجع، چمن با ارتفاع ۱۲ سانتی‌متر و ضریب بازتاب تابش آن ۲۳ درصد است (Allen et al., 1998). این مدل به عنوان مدل مرجع تبخیر و تعرق شناخته شده و سایر روش‌ها نسبت به این روش کالیبره می‌شوند. مدل این روش به صورت رابطه (۱) می‌باشد:

$$ET_0 = \frac{0.408 \cdot \Delta (R_n - G) + \gamma \left[ \frac{900}{(T + 273)} \right] U_2 (e_a - e_d)}{\Delta + \gamma (1 + 0.34 U_2)} \quad (1)$$

در این رابطه  $ET_0$  تبخیر و تعرق روزانه (mm/day)،  $R_n$  (mm/day)،  $T$  (K)،  $G$  (Mjm<sup>-2</sup>d<sup>-1</sup>)،  $e_a$  (Kpa) و  $e_d$  (Kpa) میانگین دمای روزانه (°C)،  $U_2$  سرعت باد در ارتفاع دو متری (m/s)،  $\Delta$  شار بخار اشباع (Kpa) و  $\gamma$  ثابت سایکرومتری (Kpac<sup>-1</sup>) می‌باشد (Allen et al., 1998).

### مدل شبکه عصبی مصنوعی

شبکه‌های چندلایه پیش‌خور یکی از مهم‌ترین ساختارهای شبکه عصبی می‌باشد. به طور معمول این شبکه‌ها شامل مجموعه‌ای از واحدهای حسی (نرون) می‌باشند که تشکیل دهنده لایه ورودی، یک یا چند لایه پنهان و یک لایه خروجی می‌باشند. سیگنال ورودی در خلاً شبکه و در مسیری رو به جلو به صورت لایه به لایه منتشر می‌شود. این نوع شبکه‌ها معمولاً به عنوان پرسپترون چندلایه نامیده

حسینی ورنجانی و همکاران (۱۳۹۹) به ارائه یک ضربی اصلاحی برای بهبود روش هارگریوز در محاسبه تبخیر و تعرق مرجع روزانه در منطقه خشک سرد شهرکرد به کمک مدل درخت تصمیم و مدل شبکه عصبی مصنوعی پرداختند. نتایج نشان داد که عملکرد مدل شبکه عصبی مصنوعی در تخمین ضربی اصلاحی دقیق‌تر است. سپهری و همکاران (۱۳۹۹) به بررسی و تحلیل حساسیت روش‌های مبتنی بر شبکه عصبی در برآورد تبخیر و تعرق مرجع در استان تهران پرداختند. نتایج نشان داد مدل شبکه عصبی مصنوعی تکنیک بسیار مناسبی برای تحلیل تبخیر و تعرق مرجع می‌باشد. همچنین مشخص گردید شیوه آموزش پرسپترون چندلایه با دو لایه میانی و توابع انتقال تائزانت خطی و تائزانت برای لایه‌های پنهان و خروجی و قاعده آموزشی لوینبرگ مارکوات برای دو لایه پنهان و خروجی و ساختار ۱-۶-۱۶-۱۴ به عنوان بهترین شبکه برای برآورد تبخیر و تعرق مرجع پیشنهاد می‌گردد.

در تحقیقی در کشور استرالیا در پارکی نزدیک شهر ملبورن به برآورد تبخیر و تعرق مرجع به کمک شبکه عصبی مصنوعی پرداخته شد. برای محاسبه تبخیر و تعرق مرجع از روش پمن موتیث فائو استفاده گردید. نتایج نشان داد که مدل شبکه عصبی مصنوعی دقت قابل قبولی در تخمین تبخیر و تعرق مرجع در این منطقه دارد. همچنین مشخص گردید تغییرات آب و هوا بر باعث افزایش تبخیر و تعرق مرجع می‌گردد (Algretawee and Alshama, 2021). بیدآبادی و همکاران (۱۴۰۰) به برآورد تبخیر و تعرق مرجع با استفاده از مدل شبکه عصبی مصنوعی و مدل نرو فازی در اقلیم خشک و نیمه‌خشک (استان کرمان) پرداختند. نتایج نشان داد دو مدل فوق عملکرد بهتری نسبت به مدل‌های تجربی دارند و دقت مدل نرو فازی در مقایسه با سایر مدل‌ها بیشتر است. با توجه به نقش کلیدی تبخیر و تعرق در مدیریت منابع آب و طراحی سامانه‌های آبیاری و زهکشی و از آنجا که تحقیقات زیادی در خصوص مدل ترکیبی شبکه عصبی ANN<sup>۱</sup>-PSO و مقایسه نتایج آن با الگوریتم‌های داده‌کاوی در کشور انجام نشده است، ارزشمندی تحقیق حاضر را بیان می‌کند. هدف این تحقیق ارزیابی مدل درختی M5, Rep Tree, K Star, M5 Rules, ANN-PSO در تخمین تبخیر و تعرق مرجع در دو نقطه اقلیمی مختلف در استان مرکزی، منطقه تفرش و دلیجان می‌باشد.

### مواد و روش‌ها

#### منطقه مورد مطالعه

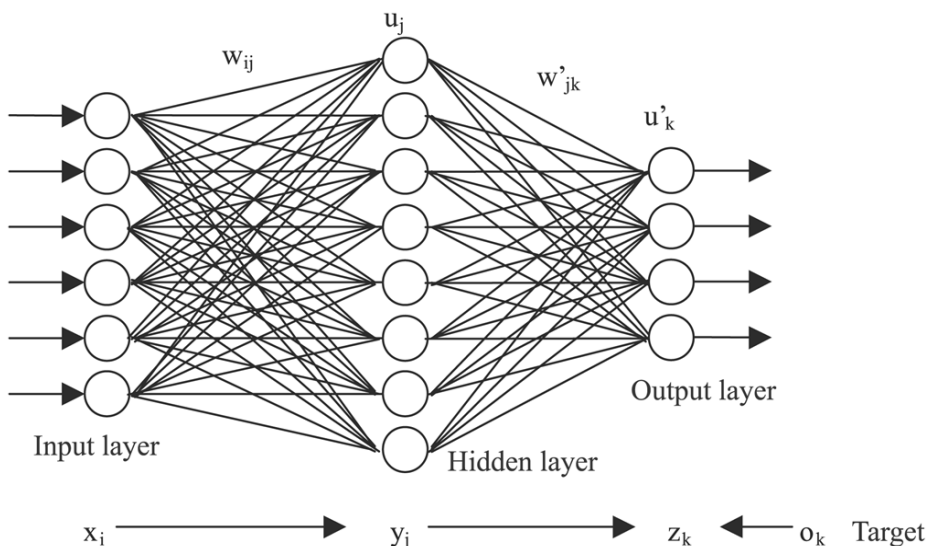
دلیجان یکی از شهرستان‌های استان مرکزی با طول جغرافیایی ۵۰ درجه ۴۲ دقیقه شرقی و عرض جغرافیایی ۳۳ درجه و ۵۹ دقیقه

منظور دستیابی به پاسخی پایدارتر و غلبه بر مشکل برآش بیش از حد در آموزش مدل ANN، از الگوریتم تنظیم بیزی استفاده شد. الگوریتم تنظیم بیزی خطاها را در خطاهای شبکه و وزن شبکه و بایاس به حداقل می‌رساند (Mackay, 1992). شکل (۲)، شماتیک یک شبکه عصبی مصنوعی را نشان می‌دهد.

می‌شوند (Haykin, 1994). برای پیش‌بینی تبخیر و تعرق مرجع از شبکه پرسپترون چندلایه پیش‌خور با یک قانون یادگیری پس انتشار و با یک لایه پنهان استفاده شد. این نوع شبکه قادر به مدل‌سازی و تشخیص هر نوع رابطه بین متغیرهای ورودی و خروجی است (Minasny and McBratney, 2002a, 2002b; Khalilmoghadam et al., 2009; Mirzaee et al., 2017).



شکل ۱ - موقعیت جغرافیایی مناطق مورد مطالعه



شکل ۲ - شماتیک یک شبکه عصبی مصنوعی (ANN)

که در این رابطه  $x_n$  مقدار نرمالیز شده،  $x$  مقدار هر متغیر ورودی و نرمال‌سازی داده‌ها قبل از ورود به شبکه می‌باشد.  $x_{min}$  مینیمم داده‌ی ورودی،  $x_{max}$  ماکزیمم داده‌ی ورودی می‌باشد.

**الگوریتم PSO**  
مراحل اجرای الگوریتم PSO شامل مراحل ذیل است. هر فرد در این توده به عنوان یک ذره در فضای  $n$  بعدی در نظر گرفته می‌شود

نخستین گام در ایجاد شبکه عصبی مصنوعی انتخاب داده‌های نرمال‌سازی داده‌ها قبل از ورود به شبکه می‌باشد. نرمال‌سازی داده‌ها به منظور افزایش دقت و سرعت شبکه در پاسخ به پیام‌های ورودی صورت می‌گیرد. با استفاده از رابطه (۲) اقدام به نرمال‌سازی داده‌ها شد (احمدی و همکاران، ۱۳۹۴).

$$(2) \quad x_n = \frac{x - x_{min}}{x_{max} - x_{min}}$$

به صفر می‌رسد. با این کار درخت بزرگی توسعه می‌یابد. بنابراین برای رسیدن به یک درخت بهینه و کارآمد باید شاخه‌های اضافی درخت هرس شوند. دومین مرحله در طراحی مدل، هرس کردن درخت بیش از حد رشد کرده، و جایگزینی روابط رگرسیونی خطی بهجای شاخه‌ها خواهد بود. این تکنیک تولید مدل درختی، فضای پارامترهای ورودی را به زیرحوزه‌های تقسیم نموده و برای هر کدام از آن‌ها یک رابطه خطی ارائه می‌کند (Kisi et al., 2021; Genolini, 2022).

### M5 Rules مدل

از مدل درختی ساخته شده توسط مدل Tree M5p، قانون رگرسیونی تولید می‌نماید.

### Rep Tree مدل

این مدل با استفاده از مقادیر واریانس درخت تصمیم یا درخت رگرسیونی می‌سازد و با هرس خطای کاهش یافته، آن را هرس می‌کند. برای بهبود سرعت، این روش تنها یک بار مقادیر را برای صفات عددی مرتبط می‌نماید (Belouch et al., 2017). می‌توان حداقل تعداد نمونه‌ها را در هر برگ، ماتریس عمق درخت حداقل نسبت واریانس سری آموزشی برای یک انشعاب (تنها کلاس عددی) و تعداد فولهای برای هرس نمودن را تنظیم نمود (Ngo et al., 2022).

### K star مدل

الگوریتم مبتنی بر فاصله که در آن ازتابع آنتروپی استفاده می‌شود. در واقع این الگوریتم شباهت داده با داده‌های آموزشی را در نظر می-گیرد (فضل مقصودی و مومنی، ۱۳۹۲).

### معیارهای ارزیابی

در این تحقیق به منظور ارزیابی روش‌ها، شاخص‌های آماری میانگین انحراف مطلق<sup>۲</sup>، جذر میانگین مربعات خطأ<sup>۳</sup> و ضریب همبستگی<sup>۴</sup> بر اساس رابطه‌های (۶ و ۷) محاسبه شدند:

$$MAE = \frac{\sum_{i=1}^N |O_i - P_i|}{N} \quad (6)$$

$$RMSE = \sqrt{\frac{\sum_{i=1}^N (O_i - P_i)^2}{n}} \quad (7)$$

$$R = \frac{\sum_{i=1}^N O_i P_i}{\sqrt{\sum_{i=1}^N O_i^2 \sum_{i=1}^N P_i^2}} \quad (8)$$

در این روابط:  $O_i$  تبخیر و تعرق به روش پنمن مونتیث فائق؛  $P_i$  تبخیر و تعرق محاسبه شده به هر روش؛ MAE میانگین مطلق خطأ

2 Root Mean Square of Error

3 Correlation Coefficient

4 Expected reduction

(Hou et al., 2022). سرعت و موقعیت ذره i به ترتیب به صورت رابطه (۳) تعریف می‌شوند:

$$\begin{aligned} V_i(t) &= [V_{i1}(t), V_{i2}(t), \dots, V_{in}(t)] \quad \text{and } X_i(t) \\ &= [X_{i1}(t), X_{i2}(t), \dots, X_{in}(t)] \end{aligned} \quad (3)$$

حرکت ذرات به صورت رابطه (۴) و (۵) محاسبه می‌شود:

$$\begin{aligned} V_{i,d}(t+1) &= W(t)V_{i,d}(t + c_1 r_1 (P_{i,d}(t) - X_{i,d}(t)) \\ &\quad + c_2 r_2 (P_{g,d}(t) - X_{i,d}(t))) \end{aligned} \quad (4)$$

$$\begin{aligned} X_{i,d}(t+1) &= X_{i,d}(t) + V_{i,d}(t+1), i \\ &= 1, 2, \dots, M ; d \\ &= 1, 2, \dots, n \end{aligned} \quad (5)$$

که در این رابطه:  $V_{i,d}$  سرعت ذره i در تکرار t+1 است که در بازه  $[-V_{max}, V_{max}]$  محدود شده است،  $X_{i,d}$  مقدار موقعیت ذره i است،  $c_1$  و  $c_2$  ضرایب شتاب هستند. بردار  $\{P_{i,1}, P_{i,2}, \dots, P_{i,n}\}$  نشان‌دهنده قرارگیری است که بهترین ارزش تناسب  $P_g = \{P_{g,1}, P_{g,2}, \dots, P_{g,n}\}$  (بهترین جایگذاری قبلی) ذره را می‌دهد. بردار  $\{P_{g,n}\}$  قرارگیری بهترین ذره در مقایسه با سایر ذرات جمعیت است و به عنوان بهترین موقعیت جهانی (gbest) شناخته می‌شود، متغیرهای  $r_1$  و  $r_2$  دو عدد تصادفی هستند که به طور یکنواخت در بازه  $[0, 1]$  توزیع شده‌اند، و  $W(t)$  وزن اینترسی است که توسط Shi and Eberhart, 1998 (برای سرعت بخشیدن به همگرایی الگوریتم PSO معرفی شد) (Petković et al., 2016).

### M5 درختی مدل

تولید مدل درختی در دو مرحله صورت می‌گیرد. مرحله‌ی اول شامل تعیین مناسب‌ترین پارامتر ورودی برای انشعاب و نیز معیار تقسیم برای تولید یک درخت تصمیم است. انتخاب پارامتر تقسیم مناسب و ایجاد نقطه انشعاب در درخت از اهمیت خاصی برخوردار است. هر گره بر اساس شباهت بین اعضای آن، به دو زیرگره تقسیک می‌شود. معیار تقسیم برای الگوریتم مدل درختی M5 بر مبنای درنظر گرفتن انحراف معیار مقادیر دسته‌ی منتهی به هر گره به عنوان میزان خطأ در آن گره و محاسبه‌ی کاهش مورد انتظار<sup>۵</sup> در این خطأ به عنوان نتیجه آزمون هر صفت در آن گره می‌باشد (Binkert et al., 2006). کاهش انحراف معیار از رابطه (6) محاسبه می‌شود:

$$SDR = sd(t) - \sum \frac{|T_i|}{|T|} sd(T_i) \quad (6)$$

که در آن، T دسته‌ای از نمونه‌ها که به گره می‌رسند؛  $T_i$  زیرمجموعه‌ی نمونه‌هایی که آمین خروجی از دسته‌ی پتانسیل را دارد و  $sd$  انحراف از معیار است. چون فرآیند تقسیم داده‌ها در گره‌های کوچک انحراف استاندار کمتری نسبت به گره‌های بزرگ دارد بنابراین نتایج خالص‌تر است. فرآیند انشعاب در هر گره بارها و بارها تکرار می‌شود تا به گره پایانی برسد که محدود انحراف از میانگین داده‌ها تقریباً

5- Mean Absolute Error

حداکثر، رطوبت نسبی میانگین، ساعت آفتابی و سرعت باد در ارتفاع دو متري به عنوان ورودي مدل استفاده گردید. داده‌ها به دو قسمت ۷۵ درصد آموزش و اعتبارسنجي و ۲۵ درصد آزمایش تقسيم شدند و مدل اجرا گردید.

آنالیز آماری با رتبه‌بندی بين شاخص‌ها انجام گردید به نحوی هر شاخص در ايده‌آل ترين حالت ييشترین امتياز و در ضعيف‌ترین حالت ممکن كم‌ترین امتياز به آن شاخص تعلق يابد. نتایج مدل سازی تبخیر و تعرق با مدل شبکه عصبی مصنوعی و مدل هیبرید شبکه عصبی ANN-PSO (جدول ۱) نشان داد که هر دو مدل دقت قابل قبولی در تخمين تبخیر و تعرق مرجع دارند. نتایج نشان داد که مدل هیبرید شبکه عصبی ANN-PSO با  $MAE=0.17$ ,  $RMSE=0.244$  و  $R=0.9992$  برای ايستگاه دليجان و  $MAE=0.2$ ,  $RMSE=0.2331$  و  $R=0.9993$  برای ايستگاه تفرش و مدل شبکه عصبی مصنوعی با  $MAE=0.2441$ ,  $RMSE=0.3115$  و  $R=0.9989$  برای ايستگاه دليجان و  $MAE=0.2355$ ,  $RMSE=0.2915$  و  $R=0.9989$  دقت قابل قبولی در تخمين تبخير و تعرق مرجع در اين مناطق دارد. نتایج نشان می‌دهد که مدل هیبرید شبکه عصبی ANN-PSO ضمن افزایش دقت شبکه عصبی باعث کم شدن زمان آموزش شبکه می‌گردد.

نتایج مدل سازی تبخیر و تعرق با مدل درختی M5 نشان داد که مدل درختی دقت بالايي در برآورد تبخير و تعرق در اين منطقه دارد (جدول ۲).

مدل درختی با  $MAE=0.2398$ ,  $RMSE=0.2793$  و  $R=0.9967$  برای ايستگاه دليجان و  $MAE=0.2803$ ,  $RMSE=0.2306$  و  $R=0.9969$  برای ايستگاه تفرش محاسبه گردید که عملکرد مطلوبی را در تخمين تبخیر و تعرق مرجع در اين ايستگاه‌ها را دارد. مدل درختی روابط خطی و ساده‌ای برای برآورد تبخير و تعرق مرجع ارائه می‌کند، هر کدام از اين روابط برای شرایط خاصی از دما، رطوبت، ساعت آفتابی، سرعت باد و غيره صادق هستند. شکل (۴) و (۵) درخت پنهانه تولید شده را نشان می‌دهد که در اين شکل‌ها دایره‌ها نماینده گره‌های تقسيم، خطوط رابط نشانگر شرایط تقسيم، و مستطيل‌ها گره‌های نهايی یا همان برگ‌ها هستند که عبارت LM نشانگر شماره رابطه‌ی رگرسيونی است که در ذيل درخت آمده است و شماره درون پرانترها نيز نشانگر تعداد داده‌های آموزشي است که با هر برگ پوشش داده و درصد خطای هر رابطه می‌باشد. با توجه به شکل مهم‌ترین پارامتر در ايستگاه دليجان دمای ماکریمم  $T_{max}$  مهم‌ترین پارامتر است و درخت را به دو شاخه معیار انشعاب  $T_{max} > 21.597$  و  $T_{max} \leq 21.597$  تقسيم می‌کند. بر اساس معیار انشعاب  $T_{max} > 21.597$  دمای مینیمم بیشترین اهمیت را دارد و بر اساس معیار انشعاب  $T_{max} \leq 21.597$  دمای ماکریمم بیشترین اهمیت را دارد. برای ايستگاه تفرش نيز دمای ماکریمم

كه هر چه اين شاخص به صفر نزديک‌تر باشد، نشان‌دهنده انحراف كمتر و دقت بالاتر مدل می‌باشد. RMSE جذر میانگین مربعات خطا كه هر چه اين شاخص به صفر نزديک‌تر باشد نشان‌دهنده خطای كمتر و دقت بالاي مدل می‌باشد و R ضريب همبستگی که هر چه اين شاخص به يك نزديک‌تر باشد، نشان‌دهنده همبستگی بالاي مدل می‌باشد.

## نتایج و بحث

در اين تحقيق به ارزیابی مدل درختی M5 rules و Rep Tree در تخمين تبخير و تعرق مرجع در استان مرکزي، منطقه تفرش و دليجان پرداخته شد. داده‌های ورودی به مدل شبکه عصبی و مدل هیبرید شبکه عصبی ANN-PSO عبارت از دمای حداکثر و دمای حداقل، ساعت آفتابی، سرعت باد در ارتفاع دو متري و رطوبت نسبی میانگین بودند. به دليل عدم دسترسی به داده‌های لایسیمتری، مدل پنمن مونتیت فائق به عنوان خروجي مدل‌ها در نظر گرفته شد (Kumar et al, 2011). داده‌ها به دو گروه ۷۵ درصد آموزش<sup>۱</sup> و اعتبار<sup>۲</sup> و ۲۵ درصد آزمایش<sup>۳</sup> تقسيم شدند. در اين تحقيق از شبکه‌های پیش‌خور استفاده شده است. بهينه‌سازی لایه پنهان به روش سعی و خطا انجام گردید (Jain et al., 2008). نمونه‌های مختلف در اين لایه مورد آزمون قرار گرفتند. افزایش نمونه‌ها اثر چشمگيري بر کاهش خطای شبکه نداشت. از قاعده‌ی آموزش تنظيم بيز<sup>۴</sup> برای همگرایي شبکه استفاده گردید (Mackay, 1992). متدالوپ ترین توابع فعال<sup>۵</sup> توابع سیگموئید و خطی می‌باشد (منهاج، ۱۳۹۳). در اين تحقيق تابع لوگ سیگموئید در لایه پنهان و تابع خطی در لایه خروجي استفاده شده است. مراحل کدنویسي مدل هیبرید شبکه عصبی ANN-PSO در شکل (۳) نشان داده شده است. تمام اين مراحل به کمک نرم‌افزار MATLAB(R2017b) انجام شده است. برای اجرای الگوريتم‌های داده‌کاوی داده‌های ورودی و خروجي وارد نرم‌افزار وکا<sup>۶</sup> (Weka3.9.2) گردید. ابزار وکا نرم‌افزاری است که توسط دانشگاه Waikato در کشور نیوزلند ارائه شده است. از ویژگی‌های بارز اين نرم‌افزار می‌توان به پوشش تقریباً كامل الگوريتم‌های داده‌کاوی در آن اشاره کرد. مقادیر تبخير و تعرق محاسبه شده به کمک مدل پنمن مونتیت فائق به عنوان خروجي الگوريتم و متغیرهای دمای حداقل و

1- Training

2- Validation

3- Testing

4- Bayesian-Regulation

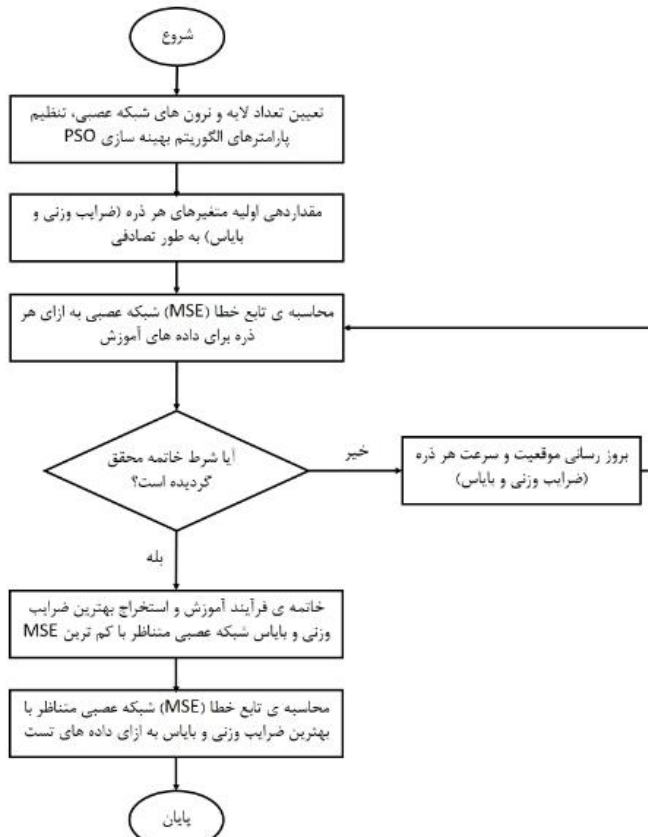
5- Active function

6- logsig

7- Waikato Environment for knowledge Analysis (Weka)

ترین پارامترهایی که در درخت تصمیم باعث انشعاب می‌شوند کدام متغیرها هستند. از مزیت‌های دیگر این مدل در صورتی که داده‌ها روزانه، ماهانه و یا هر مقياس دیگری گمشده باشند، می‌توان به کمک الگوریتم‌هایی امکان جایگزینی داده مفقودشده را فراهم کرد.

$T_{max}$  مهم‌ترین پارامتر است و درخت را به دو شاخه  $T_{max} \leq 21.597$  و  $T_{max} > 21.597$  تقسیم می‌کند. بر اساس معیار انشعاب  $T_{max} \leq 21.597$  دمای ماکریم بیشترین اهمیت را دارد. به عبارت دیگر در شرایط مختلف داده‌های آب و هوایی، دما، رطوبت، ساعات آفتابی و سرعت باد چه رابطه‌ای حاکم است و مهم-



شکل ۳- مدل هیبرید شبکه عصبی ANN-PSO

جدول ۱- نتایج مدل شبکه عصبی مصنوعی و مدل ترکیبی شبکه عصبی ANN-PSO

Mدل	داده	منطقه مطالعاتی	MAE**	RMSE*	R***
شبکه عصبی ANN	$ET_0=F(T_{max}, T_{min}, RH_{mean}, n, U_2)$	دليجان	۰/۲۴۴۱	۰/۳۱۱۵	۰/۹۸۹۹
شبکه عصبی ANN	$ET_0=F(T_{max}, T_{min}, RH_{mean}, n, U_2)$	تفرش	۰/۲۳۵۵	۰/۲۹۱۵	۰/۹۹۹۱
شبکه عصبی ANN-PSO	$ET_0=F(T_{max}, T_{min}, RH_{mean}, n, U_2)$	دليجان	۰/۱۷۰۰	۰/۲۴۴۰	۰/۹۹۹۲
شبکه عصبی ANN-PSO	$ET_0=F(T_{max}, T_{min}, RH_{mean}, n, U_2)$	تفرش	۰/۲۰۰۰	۰/۲۳۳۱	۰/۹۹۹۳

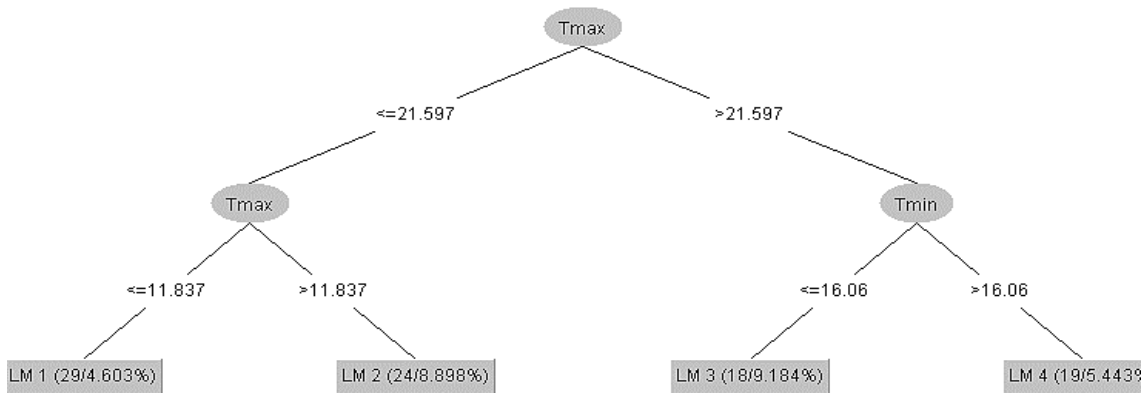
\* جذر میانگین مربعات خطأ، \*\* میانگین مطلق خطأ و \*\*\* ضریب همبستگی

شبکه عصبی مصنوعی و مدل هیبرید شبکه عصبی ANN-PSO دقیق‌تری دارد. برای مدل K star شاخص‌های آماری A و R=0.9896، MAE=0.2831 و RMSE=0.463 در دليجان و A و R=0.995 و MAE=0.207 و RMSE=0.32 برای ایستگاه تفرش محاسبه گردید که نسبت به مدل درختی M5، مدل

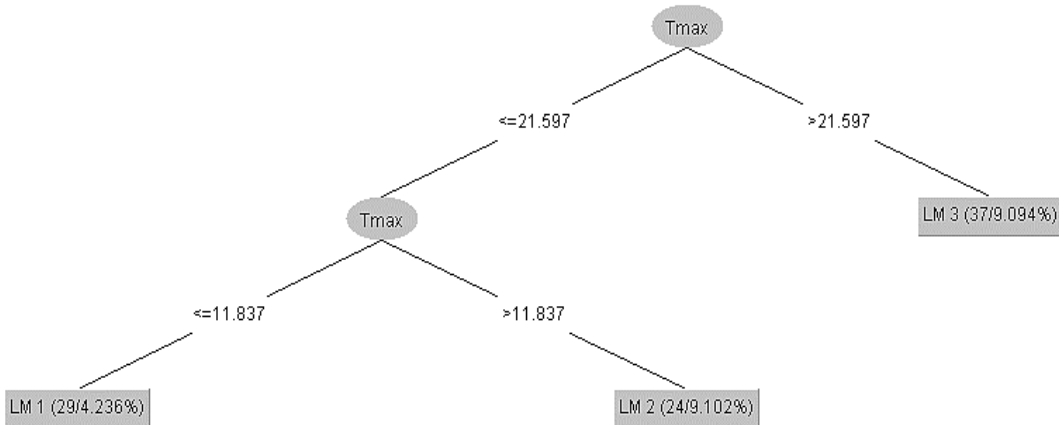
نتایج آنالیز آماری مدل‌های M5 Rules و K star در جدول (۲) ذکر گردیده است. برای مدل M5 Rules شاخص‌های آماری A و R=0.9951 و MAE=0.28 و RMSE=0.3385 در دليجان و A و R=0.9965 و MAE=0.2258 و RMSE=0.293 برای ایستگاه تفرش محاسبه گردید که نسبت به مدل درختی M5 و مدل

شبکه عصبی مصنوعی، مدل مدل هیبرید شبکه عصبی ANN-PSO عملکرد ضعیفترا دارد. نتایج اجرای مدل Rep M5 Rules در بین مدل‌های مورد بررسی در این تحقیق دارد (جدول ۲).

شبکه عصبی مصنوعی، مدل مدل هیبرید شبکه عصبی ANN-PSO عملکرد ضعیفترا دارد. نتایج اجرای مدل Rep M5 Rules در بین مدل‌های مورد بررسی در این تحقیق دارد (جدول ۲). نشان داد که این مدل با  $MAE=0.4628$ ,  $RMSE=0.6335$ , Tree  $RMSE=0.8337$ ,  $R=0.982$  برای ایستگاه دلیجان و



شکل ۴- مدل درختی M5 برای ایستگاه دلیجان



شکل ۵- مدل درختی M5 برای ایستگاه تفرش

جدول ۲- نتایج الگوریتم‌های داده‌کاوی

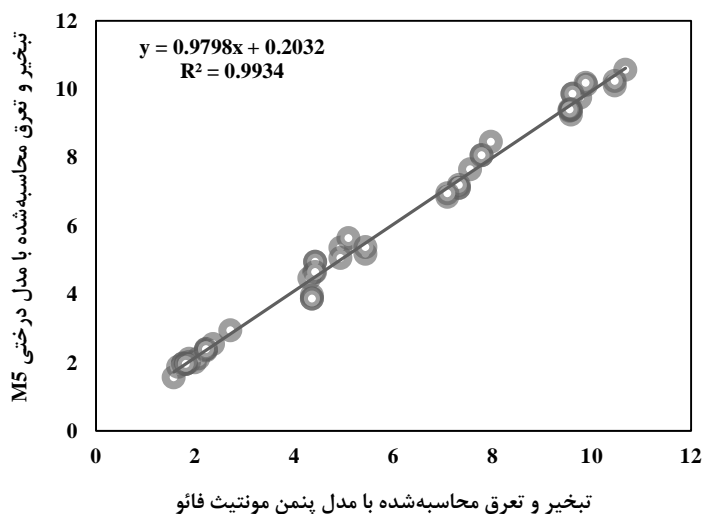
داده	الگوریتم	منطقه مطالعاتی	RMSE*	MAE**	R***	عملکرد مدل‌ها
ET <sub>0</sub> =F(T <sub>max</sub> , T <sub>min</sub> , RH <sub>mean</sub> , n, U <sub>2</sub> )	M5	دلیجان	.۰/۲۷۹۳	.۰/۲۳۹۸	.۰/۹۹۶۷	بهترین عملکرد
ET <sub>0</sub> =F(T <sub>max</sub> , T <sub>min</sub> , RH <sub>mean</sub> , n, U <sub>2</sub> )	M5	تفرش	.۰/۲۸۰۳	.۰/۲۳۰۶	.۰/۹۹۶۹	بهترین عملکرد
ET <sub>0</sub> =F(T <sub>max</sub> , T <sub>min</sub> , RH <sub>mean</sub> , n, U <sub>2</sub> )	M5 Rules	دلیجان	.۰/۳۳۸۵	.۰/۲۸۰۰	.۰/۹۹۵۱	-
ET <sub>0</sub> =F(T <sub>max</sub> , T <sub>min</sub> , RH <sub>mean</sub> , n, U <sub>2</sub> )	M5 Rules	تفرش	.۰/۲۹۳۰	.۰/۲۲۵۸	.۰/۹۹۶۵	-
ET <sub>0</sub> =F(T <sub>max</sub> , T <sub>min</sub> , RH <sub>mean</sub> , n, U <sub>2</sub> )	K star	دلیجان	.۰/۴۶۳۰	.۰/۲۹۳۱	.۰/۹۸۹۶	-
ET <sub>0</sub> =F(T <sub>max</sub> , T <sub>min</sub> , RH <sub>mean</sub> , n, U <sub>2</sub> )	K star	تفرش	.۰/۳۲۰۰	.۰/۲۰۷۰	.۰/۹۹۵۰	-
ET <sub>0</sub> =F(T <sub>max</sub> , T <sub>min</sub> , RH <sub>mean</sub> , n, U <sub>2</sub> )	Rep Tree	دلیجان	.۰/۶۳۳۵	.۰/۴۶۲۸	.۰/۹۸۲۰	-
ET <sub>0</sub> =F(T <sub>max</sub> , T <sub>min</sub> , RH <sub>mean</sub> , n, U <sub>2</sub> )	Rep Tree	تفرش	.۰/۸۳۳۷	.۰/۶۱۸۰	.۰/۹۶۹۷	-

\* جذر میانگین مربعات خطأ، \*\* میانگین مطلق خطأ و \*\*\* ضریب همبستگی

منطقه مختلف از کشور آمریکا پرداختند نتایج نشان داد که عملکرد M5 نسبت به مدل شبکه عصبی دقیق‌تر بود (Kisi and Kilic, 2016).

اگرچه دقت مدل درختی M5 از مدل شبکه عصبی بیشتر و از مدل هیبرید شبکه عصبی ANN-PSO کمتر است ولی مدل درختی علاوه بر دقت مطلوب روابط ساده، خطی و قابل فهم ارائه می‌کند. لذا این تحقیق مدل درختی را برای برآورد تبخیر و تعرق در این منطقه توصیه می‌کند. پراکنش تبخیر و تعرق به کمک مدل درختی با روش پنمن مونتیث فائق در (شکل ۶ و ۷) برای هر دو ایستگاه نشان داده شده است. پیشنهاد می‌شود در تحقیقات آینده به ارزیابی مدل‌ها در اقلیم‌های مختلف با تعداد ایستگاه‌های بیشتر با الگوریتم‌های مختلف و جدید هوشمند و داده‌کاوی و مقایسه نتایج آن‌ها با هم و با ایستگاه‌های مجاور پرداخته شود. در صورت دسترسی به داده‌های لایسیمتری معتبر برای ارزیابی صحت نتایج استفاده شود.

با توجه به عدم دسترسی به آمار و داده‌های مورد نیاز در برآورد تبخیر و تعرق و عدم اندازه‌گیری بعضی از این داده‌های مورد نیاز در بیشتر ایستگاه‌ها مدل شبکه عصبی، مدل هیبرید شبکه عصبی ANN-PSO و الگوریتم‌های داده‌کاوی راهکار مناسب‌تری نسبت به روش‌های تجربی در شرایط عدم وجود اطلاعات کافی می‌باشدند.. ستاری و همکاران (۱۳۹۲) پیش‌بینی تبخیر تعرق مرجع روزانه با استفاده از مدل شبکه عصبی مصنوعی و مدل درختی M5 پرداختند نتایج نشان داد که عملکرد مدل شبکه عصبی مصنوعی در تخمین تبخیر و تعرق دقیق‌تر است. قهرمان و صامتی به برآورد تبخیر و تعرق مرجع به کمک مدل درختی M5 و شبکه عصبی مصنوعی در ایستگاه‌های شیراز و کرمانشاه پرداختند. نتایج نشان داد که مدل درختی M5 عملکرد بهتری دارد (Ghahreman and Sameti, 2014). کیسی و کیلیچ به بررسی قابلیت تعمیم شبکه‌های عصبی مصنوعی و درخت مدل M5 در مدل‌سازی تبخیر و تعرق مرجع در دو



شکل ۶- پراکنش تبخیر و تعرق مدل درختی M5 با مدل پنمن مونتیث فائق در ایستگاه دلیجان

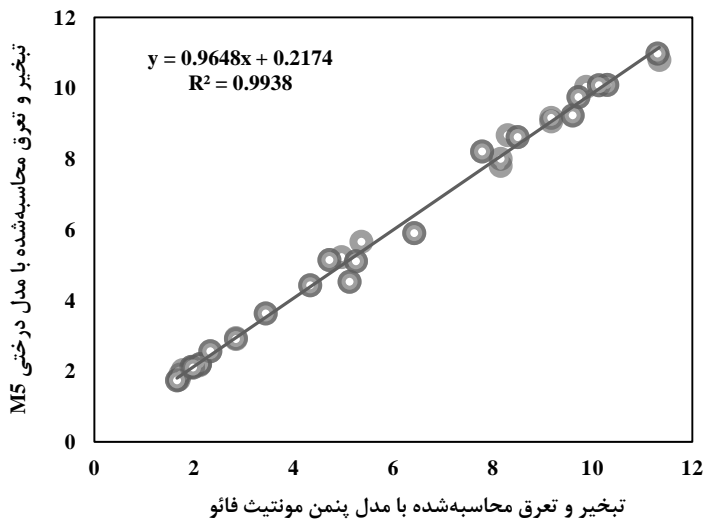
فائق پرداخته شد. ابتدا داده‌های هواشناسی دو ایستگاه سینوبتیک دلیجان و تفرش از سازمان هواشناسی اخذ گردید. مقادیر تبخیر و تعرق با روش پنمن مونتیث فائق که طبق تحقیقات انجام‌شده در نبود داده‌های لایسیمتری معتبرترین روش محاسبه تبخیر و تعرق مرجع می‌باشد، محاسبه گردید و به عنوان مقادیر هدف در مدل‌های مورد بررسی استفاده شد. سپس با استفاده از نرم افزارهای مربوطه و کدنویسی مدل‌ها اجرا گردید. نتایج نشان داد که با استفاده از متغیرهای در دسترس دمای حداقل و حداکثر، رطوبت نسبی میانگین، ساعت‌آفتابی و سرعت باد در ارتفاع دو متری، مدل‌های هوشمند و داده‌کاوی دقت خوبی در برآورد تبخیر و تعرق مرجع را دارند. نتایج

## نتیجه‌گیری

کاهش بارندگی و خشک‌سالی‌های متناوب اخیر، بخش کشاورزی را به عنوان پرصرف‌ترین بخش استفاده‌کننده آب در کشور با چالش جدی مواجه ساخته است. یکی از پارامترهای کلیدی در طراحی سامانه‌های آبیاری (آبیاری سطحی و آبیاری نوین) تخمین دقیق نیاز آبی است که منجر به صرف‌جویی در مصرف آب می‌گردد. لذا در این تحقیق به ارزیابی مدل درختی M5 rule, Rep Tree, K star, M5rule، ANN-PSO در تخمین تبخیر و تعرق مرجع در دو نقطه اقلیمی مختلف در استان مرکزی، منطقه تفرش و دلیجان بر مبنای مدل پنمن مونتیث

ساده‌تر نتایج آن، ارائه روابط خطی و ساده، عدم نیز به آزمون و خطا برای فرآیند آموزش و دقت بالای این مدل اشاره نمود. نتایج نهایی این پژوهش مدل درختی برای برآورد تبخیر و تعرق در این منطقه قابل توصیه می‌کند.

آنالیزهای آماری نشان داد که برای هر دو ایستگاه مدل درختی M5 علاوه بر ارائه روابط ساده، خطی و قابل فهم‌تر نسبت به سایر مدل‌های مورد بررسی در این تحقیق دقت و عملکرد بالاتری را دارد. از جمله ویژگی‌های بارز مدل درختی می‌توان به درک این مدل و تحلیل



شکل ۷- پراکنش تبخیر و تعرق مدل درختی M5 با مدل پنمن مونتیث فاؤ در ایستگاه تفرش

پژوهشی توسعه و ترویج علوم کشاورزی، منابع طبیعی و محیط‌زیست ایران، تهران، ۲۸ و ۲۹ شهریورماه.

پورغلام آمیجی، م، خوش‌روش، م، دیوبند هفتجانی، ل. و قدمی فیروزآبادی، ع. ۱۴۰۱. اثر آبیاری با پساب مغناطیسی تصوفیه شده بر بهره‌وری آب ذرت. نشریه آبیاری و زهکشی ایران. ۱۶ (۱): ۲۴۳-۲۵۳.

حسینی وردنجانی، س. م. ر. فتاحی، ر. و مختاری، ا. ۱۳۹۹. ارائه یک ضریب اصلاحی برای بهبود دقت روش هارگریوز در برآورد تبخیر و تعرق مرجع. نیوار. ۴۴ (۱۱۱-۱۱۰): ۵۲-۴۳.

حقیزاده، ع. یوسفی، ح. یاراحمدی، ی. و ابراهیمیان، ط. ۱۳۹۸. مقایسه مدل هیبریدی PSO-ANFIS و مدل تجربی تورک در تخمین تبخیر و تعرق مرجع (مطالعه موردی: پل دختر- لرستان). اکوهیدرولوژی. ۶ (۳): ۶۹۴-۶۸۵.

ذرتی پور، ا. نیسی، ل. گلابی، م. بزار، ا. و ذرتی پور، ا. ۱۳۹۸. شبیه‌سازی و مقایسه‌ی تبخیر و تعرق پتانسیل به روش‌های شبکه عصبی مصنوعی، نروفازی و درخت تصمیم‌گیری M5 (مطالعه موردی: ایستگاه سینوپتیک شیراز). تحقیقات منابع آب ایران. ۱۵ (۱): ۳۷۱-۳۶۵.

سپهری، س. عباسی، ف. زارعی، ق. و نخجوانی مقدم، م. م. ۱۳۹۹.

## منابع

احمدی، ف. آیشم، س. خلیلی، ک. و بهمنش، ج. ۱۳۹۴. کاربرد سیستم‌های استنتاج عصبی-فازی تطبیقی و برنامه‌ریزی ژنتیک برای برآورد تبخیر و تعرق ماهانه در شمال غرب ایران. پژوهش‌های آب در کشاورزی. ۲۹ (۲): ۲۴۷-۲۳۵.

بختیاری، ب. محبی دهاقانی، ع. و قادری، ک. ۱۳۹۴. برآورد تبخیر تعرق مرجع روزانه با حداقل داده‌های هواشناسی در اقلیم‌های نیمه‌خشک منتخب ایران. تحقیقات منابع آب ایران. ۱۱ (۳): ۱۴۴-۱۳۱.

بیدآبادی، م. بابازاده، ح. شیری، ج. و صارمی، ع. ۱۴۰۰. برآورد تبخیر و تعرق گیاه مرجع با استفاده از ANN و ANFIS در اقلیم نیمه‌خشک و خشک. آبیاری و زهکشی ایران. ۱۵ (۶): ۱۴۰-۱۴۲. ۱۴۱۲.

پناهی، س. کرباسی، م. و نیکبخت، ج. ۱۳۹۵. پیش‌بینی تبخیر-تعرق مرجع با استفاده از شبکه‌های عصبی مصنوعی MLP، RBF و SVM. محيط‌زیست و مهندسی آب. ۲ (۱): ۶۳-۵۱.

پناهی، م. و میرهاشمی، س. ح. ۱۳۹۴. ارزیابی سه مدل نرم‌افزار weka در پیش‌بینی تبخیر تعرق پتانسیل و رطوبت نسبی ماهانه برای ماه بعد (مطالعه موردی استان یزد). اولین کنگره علمی

- Iranian Journal of Soil and Water Research. 51(8): 2051-2063.
- Antonopoulos, V. and Antonopoulos, A. 2017. Daily reference evapotranspiration estimates by artificial neural networks technique and empirical equations using limited input climate variables, Computers and Electronics in Agriculture. 132: 86-96.
- Belouch, M., El Hadaj, S. and Idhammad, M. 2017. A two-stage classifier approach using reptree algorithm for network intrusion detection. International Journal of Advanced Computer Science and Applications. 8(6): 389-394.
- Binkert, N. L., Dreslinski, R. G., Hsu, L. R., Lim, K. T., Saidi, A. G. and Reinhardt, S. K. 2006. The M5 simulator: Modeling networked systems. Ieee micro. 26(4): 52-60.
- Eberhart, R. and Kennedy, J. 1995. A new optimizer using particle swarm theory. In MHS'95. Proceedings of the sixth international symposium on micro machine and human science (pp. 39-43). Ieee.
- Eichelmann, E., Mantoani, M. C., Chamberlain, S. D., Hemes, K. S., Oikawa, P. Y., Szutu, D. and Baldocchi, D. D. 2022. A novel approach to partitioning evapotranspiration into evaporation and transpiration in flooded ecosystems. Global Change Biology. 28(3): 990-1007.
- Genolini, P. B. 2022. Wrapped M5-branes and complex saddle points. Journal of High Energy Physics. 2022(1): 1-45.
- Ghahreman, N. and Sameti, M. 2014. Comparison of M5 Model Tree and Artificial Neural Network for Estimating Potential Evapotranspiration in Semi-arid Desert. 19(1): 75-81.
- Haykin, S. 1994. Neural Networks: A Comprehensive Foundation, MacMillan College Publishing Co. New York.
- Hou, Y., Hao, G., Zhang, Y., Gu, F., and Xu, W. 2022. A multi-objective discrete particle swarm optimization method for particle routing in distributed particle filters. Knowledge-Based Systems. 240: 108068.
- Jain, S. K., Nayak, P. C. and Sudheer, K. P. 2008. Models for estimating evapotranspiration using artificial neural networks, and their physical interpretation. Hydrological Processes: An International Journal. 22(13): 2225-2234.
- Khalilmoghadam, B., Afyuni, M., Abbaspour, K. C., Jalalian, A., Dehghani, A. A. and Schulin, R. 2009. Estimation of surface shear strength in Zagros region of Iran—a comparison of artificial neural networks and multiple-linear regression models. Geoderma. 153(1-2): 29-36.
- Kumar, M., Raghuwanshi, N. S. and Singh, R. 2011. Artificial neural networks approach in  
 بررسی و تحلیل حساسیت روش‌های مبتنی بر شبکه‌های عصبی مصنوعی در برآورد تبخیر و تعرق گیاه مرجع. آبیاری و زهکشی ایران. ۱۴ (۶): ۲۰۸۹-۲۰۹۹.
- ستاری, م. ت. و اسماعیل‌زاده, ب. ۱۳۹۵. مقایسه نتایج مدل درختی M5 و برنامه‌ریزی ژنتیک با روش پنمن مونتیث فائق برای تخمین تبخیر و تعرق مرجع. مهندسی منابع آب. ۹ (۳۱): ۱۱-۲۰.
- ستاری, م. ت., نهرین, ف. و عظیمی, و. ۱۳۹۲. پیش‌بینی تبخیر-تعرق مرجع روزانه با استفاده از مدل شبکه عصبی مصنوعی و مدل درختی M5 (مطالعه موردی: ایستگاه بناب). آبیاری و زهکشی ایران. ۷ (۱): ۱۰۴-۱۱۳.
- فضلی مقصودی, حسن و مومنی, حسین. ۱۳۹۲. مقایسه و بررسی الگوریتم‌های داده‌کاوی کاهل و ماشین بردار پشتیبان برای تشخیص نفوذ، همایش مهندسی کامپیوتر و توسعه پایدار با محوریت شبکه‌های کامپیوتری، مدلسازی و امنیت سیستم‌ها، مشهد.
- قربانی, م. شکری, س. و برومندنیسب, س. ۱۳۹۵. بررسی عملکرد شبکه‌های عصبی در برآورد تبخیر و تعرق گیاه مرجع (مطالعه موردی: ایستگاه سینوپتیک اهواز). اکویولوژی تالاب. ۸ (۲۸): ۳۳-۳۴.
- منهاج, م. ب. ۱۳۹۳. مبانی شبکه‌های عصبی و هوش محاسباتی. جلد اول, چاپ نهم, انتشارات دانشگاه صنعتی امیر کبیر, تهران, ۷۱۸ ص.
- نورانی, و. و سیاح فرد, م. ۱۳۹۲. آنالیز حساسیت داده‌های ورودی به شبکه عصبی مصنوعی بهمنظور برآورد مقدار تبخیر روزانه. آب و فاضلاب. ۲۴ (۳): ۸۸-۱۰۰.
- وروانی, م. مرادی, م. و وروانی, ج. ۱۳۹۲. برآورد تبخیر و تعرق ماهانه گیاه مرجع توسط مدل رگرسیون درختی در نواحی مختلف آب و هوایی ایران. پژوهش آب در کشاورزی. ۲۷ (۴): ۵۲۳-۵۳۴.
- Algretawee, H. and Alshama, G. 2021. Modeling of Evapotranspiration ( $ET_0$ ) in a Medium Urban Park within a Megacity by Using Artificial Neural Network (ANN) Model. Periodica Polytechnica Civil Engineering. 65(4): 1260-1268.
- Allen, R. G., Pereira, L. S., Raes, D., and Smith, M. 1998. Crop evapotranspiration-Guidelines for computing crop water requirements-FAO Irrigation and drainage paper 56. Faو, Rome. 300(9): D05109.
- Ansari Ghojgar, M., Pourgholam-Amiji, M., Bazrafshan, J., Liaghat, A. and Araghinejad, S. 2020. Performance Comparison of Statistical, Fuzzy and Perceptron Neural Network Models in Forecasting Dust Storms in Critical Regions in Iran.

- algorithm and machine learning model for energy use forecast in non-residential buildings. *Scientific Reports.* 12(1): 1-18.
- Pal, M. and Deswal, S. 2009. M5 model tree based modelling of reference evapotranspiration. *Hydrological Processes: An International Journal.* 23(10): 1437-1443.
- Petković, D., Gocic, M., Shamshirband, S., Qasem, S. N. and Trajkovic, S. 2016. Particle swarm optimization-based radial basis function network for estimation of reference evapotranspiration. *Theoretical and applied climatology.* 125(3): 555-563.
- Quinlan, J. R. 1992. Learning with continuous classes. In 5th Australian joint conference on artificial intelligence. 92: 343-348.
- Rahimikhoob, A. 2014. Comparison between M5 model tree and neural networks for estimating reference evapotranspiration in an arid environment. *Water resources management.* 28(3): 657-669.
- Sattari, M. T., Pal, M., Apaydin, H. and Ozturk, F. 2013. M5 model tree application in daily river flow forecasting in Sohu Stream, Turkey. *Water Resources.* 40(3). 233-242.
- Shi, Y. and Eberhart, R. 1998. A modified particle swarm optimizer. In 1998 IEEE international conference on evolutionary computation proceedings. IEEE world congress on computational intelligence (Cat. No. 98TH8360). 69-73.
- Terzi, O. 2007. Data mining approach for estimation evaporation from free water surface. *Journal of Applied Sciences.* 7(4). 593-596.
- evapotranspiration modeling: a review. *Irrigation Science.* 29:11-25.
- Khoshravesh, M., Abedi-Koupai, J. and Nikzad-Tehrani, E. 2016. Detection of trends in hydro-climatological variables using parametric and non-parametric tests in Neka basin. *Journal of Water and Soil Science.* 19(74): 1-14.
- Kisi, O. and Kilic, Y. 2016. An investigation on generalization ability of artificial neural networks and M5 model tree in modeling reference evapotranspiration. *Theoretical and applied climatology.* 126(3): 413-425.
- Kisi, O., Keshtegar, B., Zounemat-Kermani, M., Heddam, S. and Trung, N. T. 2021. Modeling reference evapotranspiration using a novel regression-based method: radial basis M5 model tree. *Theoretical and Applied Climatology.* 145(1): 639-659.
- MacKay, D. J. 1992. Bayesian interpolation. *Neural computation.* 4(3): 415-447.
- Minasny, B. and McBratney, A. B. 2002b. Evaluation and development of hydraulic conductivity pedotransfer functions for Australian soil. *Soil Research.* 38(4): 905-926.
- Minasny, B. and McBratney, A. B. 2002a. The neuro-m method for fitting neural network parametric pedotransfer functions. *Soil Science Society of America Journal.* 66(2): 352-361.
- Mirzaee, S., Ghorbani-Dashtaki, S., Mohammadi, J., Asadzadeh, F. and Kerry, R. 2017. Modeling WEPP erodibility parameters in calcareous soils in northwest Iran. *Ecological Indicators.* 74: 302-310.
- Ngo, N. T., Truong, T. T. H., Truong, N. S., Pham, A. D., Huynh, N. T., Pham, T. M. and Pham, V. H. S. 2022. Proposing a hybrid metaheuristic optimization

## Evaluation of Hybrid Model ANN-PSO and Different Data Mining Methods in Estimating Monthly Evapotranspiration in Two Different Climates

S.M.R. Hosseini-Vardanjani<sup>1</sup>, M. Khoshravesh<sup>2\*</sup>, S.E. Hosseini-Kakolaki<sup>3</sup>, M. Pourgholam-Amiji<sup>4</sup>

Received: Jul.26, 2021

Accepted: Jul.05, 2021

### Abstract

Evapotranspiration is one of the main components of any region's water balance. Its accurate estimation is very necessary for hydrological studies, designing irrigation and drainage systems, and planning irrigation systems. In this research, the M5 tree model, M5 Rules, K Star, Rep Tree, artificial neural network model, and ANN-PSO neural network hybrid model in the estimation of reference evapotranspiration in two different climatic regions in Markazi Province based on the FAO Penman-Monteith model were evaluated. The data used included minimum and maximum temperature, average relative humidity, and wind speed at a height of two meters and sunny hours from the synoptic stations of Delijan and Tafresh between 2004-2021. To evaluate the models, the Root Mean Square of Error (RMSE), Mean Absolute Error (MAE) and Correlation Coefficient (R) indices were used. The analysis of the results showed that for both stations, ANN-PSO neural network hybrid model had the best performance with RMSE=0.3115, MAE=0.2441 and R=0.9989 for the Delijan station and RMSE=0.2915, MAE=0.2355 and R=0.9989 for Tafresh station and tree model M5 with RMSE=0.2793, MAE=0.2398 and R=0.9967 for Delijan station and RMSE=0.2803, MAE=0.2306 and R=0.9969 for Tafresh station. Also, the Rep Tree model had the weakest performance among the models examined in this research. Considering that the tree model provides simple, linear and more comprehensible relationships for estimating reference evapotranspiration in addition to optimal accuracy, this model is recommended for estimating evapotranspiration in this region.

**Keywords:** Dry Regions, Evaporation and Transpiration, Machine Learning, Soft Computing.

1- Ph.D. Student, Department of Water Engineering, Faculty of Agricultural Engineering, Sari Agricultural Sciences and Natural Resources University, Sari, Iran

2- Associate Professor, Department of Water Engineering, Faculty of Agricultural Engineering, Sari Agricultural Sciences and Natural Resources University, Sari, Iran

3- Ph.D. Student, Department of Electrical Engineering, Faculty of Engineering, Ferdowsi University of Mashhad, Mashhad, Iran

4- Ph.D. Candidate, Department of Irrigation and Reclamation Engineering, College of Agriculture and Natural Resources, University of Tehran, Karaj, Iran

(\*- Corresponding Author Email: Khoshravesh\_m24@yahoo.com, m.khoshravesh@sanru.ac.ir)